

УДК 512.531; 515.124; 004.2

doi 10.26089/NumMet.v16r452

КОМПОЗИЦИЯ ИНФИНИТАРНЫХ СТРУКТУР

Г. Г. Рябов¹, В. А. Серов²

Настоящая статья является продолжением рассмотрения полиморфных свойств троичных символьных матриц (TSM — Ternary Symbolic Matrix) над алфавитом $A = \{0, 1, 2\}$ как биекций кратчайших k -мерных путей между антиподальными вершинами (*skap*-путей) в n -кубе. Отображение TSM на структуру k -арного глобального дерева (GTk) определено как генетическое пространство $T(k)$ *skap*-путей. Автоморфизм TSM индуцирует нумерацию вершин $T(k)$ множеством натуральных чисел \mathbb{N} . С позиций такой структуры рассматриваются арифметическая геометрия *skap*-путей и свойства симметричности простых чисел относительно натуральных. В основу исследования симметричности простых предложены разностный таблоид DT (Difference Tabloid) и конструктивный метод оценки его наполнения как индикатора метрических отношений между натуральными и простыми числами.

Ключевые слова: n -куб, символьная матрица, k -арное глобальное дерево, k -кортежи натуральных чисел, разностный таблоид, спектр симметрии простых чисел, отношение несовместности.

1. Введение. Всплеск в последнее время научного интереса к фундаментальным проблемам теории чисел [1–3] не в последнюю очередь вызван пониманием роли представлений и отображений сложных многомерных объектов в инфинитарные структуры с богатым набором математического инструментария, связанным с возможностью анализа эргодических свойств объектов. К таким ключевым структурам, безусловно, относятся множество натуральных чисел \mathbb{N} , n -куб и k -арные глобальные деревья. В этом инфинитарном трио явным “носителем” свойств многомерности является структура n -куба. Объединяющим звеном является представление объектов в виде слов над конечным алфавитом, над которыми действия групп численно выражаются средствами компьютерных алгебр и арифметик. Общую идеологию взаимодействий в предлагаемом трио можно уяснить из следующей последовательности этапов представлений.

В [4] были предложены биективное представление k -граней n -куба как множества слов A_n^* над конечным алфавитом $A = \{0, 1, 2\}$ и введение алгебры 1-куба (кубанты). На k -гранях n -куба введена метрика Хаусдорфа как обобщение метрики Хэмминга [5].

Символьные $n \times (n - k + 1)$ матрицы (TSM) со строками из слов A_n^* (с дополнительными условиями на строки) были рассмотрены в [6, 7] как биекции кратчайших k -мерных путей между антиподальными (с хемминговым расстоянием, равным n) вершинами n -куба (*skap*-пути). В [7] введен инвариант (автоморфизм TSM в виде разбиения) для определения классов эквивалентности *skap*-путей в n -кубе. Приведение TSM к диагональному виду (TSMD) и ее гомоморфное отображение в последовательность состояний цепи Маркова из семейства с эргодическими свойствами позволили вычислить стационарные состояния при $n \rightarrow \infty$ [6]. На основе TSMD вычисляются топологические и геометрические характеристики (степени вершин, кривизна, кручение) *skap*-пути [8].

В [8] рассмотрено представление TSMD как рекурсивного объекта, введены база и действие декомпозиции рекурсии. Предложено отображение множества TSMD-матриц на основе процесса рекурсии в вершины k -арного глобального дерева GTk как генетического пространства $T(k)$ (с метрикой дерева) всех *skap*-путей для n -кубов при $n \geq k$ и $n \rightarrow \infty$ [8].

В вершины GTk отображаются и натуральные числа, которые являются результатом действия автоморфизма на TSMD и нумеруют и матрицы, и вершины дерева. На рис. 1 показана ситуация для трехмерных *skap*-путей (TSMD) в генетическом пространстве $T(3)$ (начальные два поколения-ранга) и наложение “спирали” натуральных \mathbb{N} (как результата автоморфизма) на тернарное дерево.

Номер вершины однозначно вычисляется по TSMD-матрице, отображенной в эту вершину на основании рекурсии. И обратно, натуральное число, представленное в модифицированной позиционной системе счисления с основанием k , однозначно определяет матрицу и вершину k -арного дерева.

¹ Научно-исследовательский вычислительный центр, Московский государственный университет им. М. В. Ломоносова, Ленинские горы, 119991, Москва; чл.-корр. РАН, зав. лабораторией, e-mail: gen-ryabov@yandex.ru

² Научно-исследовательский вычислительный центр, Московский государственный университет им. М. В. Ломоносова, Ленинские горы, 119991, Москва; науч. сотр., e-mail: v_serov@mail.ru

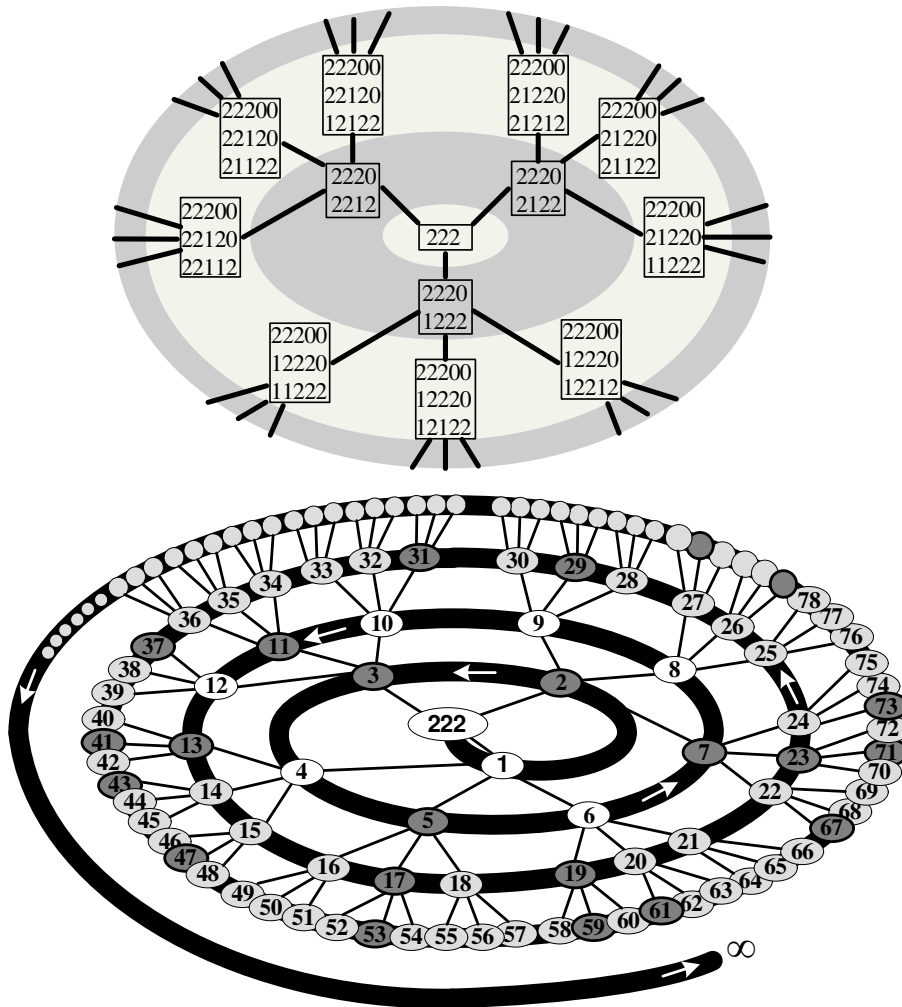


Рис. 1. Генетическое 3-подпространство (тернарное дерево) с двумя начальными поколениями (рангами). В вершины дерева отображены TSMD-матрицы, биективные кратчайшим 3-путям в 4-кубе и 5-кубе. Толстая спираль — направление последовательности нумерации матриц и вершин натуральными \mathbb{N} как результата автоморфизма TSMD-матриц

Исходя из вышеизложенного, дальнейшие разделы настоящей статьи приведены ниже в следующем порядке: принятые обозначения и их пояснение, модифицированная позиционная система счисления, генетические структуры, разностный таблоид и симметричность простых в структуре натуральных.

2. Принятые обозначения. Основные обозначения, используемые далее в статье, заимствованы из [8]. Однако иногда новые обозначения приводятся в списке принятых обозначений вместе с ранее введенными, но близкими по смыслу.

- *skar*-путь — кратчайший k -мерный путь между антиподальными вершинами n -куба;
- $T_d(n, k)$ — TSMD-матрица: символьная матрица диагонального вида, биективная *skar*-пути n -куба;
- $T_d(k, k) = 222 \dots 2$, $\#(2) = k$ — база рекурсии, 0-поколение (0-ранг) в $T(k)$;
- $R(k, g) = \{T_d(k + g, k)\}$ — множество TSMD-матриц g -поколения (ранга), $|R(k, g)| = k^g$, $g \in 0, 1, \dots, \mathbb{N}$;
- $T(k, g) = \bigcup_{s=1}^g R(k, s)$, $|T(k, g)| = \sum_{s=1}^g k^s = \frac{k^{(g+1)} - k}{k - 1}$ — k -арное дерево с g -поколениями (генетическое g -подпространство);
- $T(k) = \bigcup_{s=1}^{\infty} R(k, s)$ — генетическое пространство всех TSMD-матриц;

- \searrow_i — действие декомпозиции рекурсии (right-down pasting) с заменой “2” на “1” на i -й позиции “2” предыдущей строки.

Нулевые элементы матриц, как правило, опущены.

3. Модифицированная позиционная система счисления с основанием k (mpsk). Для позиционной системы счисления с основанием $k \in \mathbb{N}$ каждое натуральное число представляется как s -разрядное слово над алфавитом $A = \{0, 1, 2, 3, \dots, 9\} : \ll x_1, x_2, x_3, \dots, x_s \gg_k$, где $x_i \in A$, а индексы соответствуют номерам разрядов слова. Если $k \geq 10$, то разряд слова может состоять из двух, трех и т.д. букв (в нашем случае цифр) алфавита A . В данной статье $k \leq 11$. Мы будем рассматривать позиционную систему, исключив из алфавита “0”, т.е. введя *ограничение на запись слова: ни один разряд $x_i \neq 0$* ; таким образом, $1 < x_i < k$. Вычисление по слову $\ll x_1, x_2, x_3, \dots, x_s \gg_k$ выполняется по правилу

$$(\dots(kx_1 + x_2)k + x_3)k + \dots + x_s = x_1k^{(s-1)} + x_2k^{(s-2)} + \dots + x_s.$$

Будем считать такое представление *нормализованным* в варианте системы *mpsk*. В такой системе допускается и ненормализованное (промежуточное) представление чисел, когда разряд слова может быть числом, значительно превышающим k (записанным, допустим, в обычном десятичном виде). Перевод такого числа в нормализованную форму сродни реализации *переноса* при двухрядовом методе представления чисел как слагаемых в современных компьютерах. Правило переноса является основным при переводе из ненормализованного вида в *mpsk*.

Рассмотрим следующий случай. Пусть задана запись числа в виде слова в ненормализованном виде (соседние разряды отделены символами “[]”) и выделен фрагмент трех соседних разрядов при условии, что $y \leq k$, как и все последующие за ним разряды, а $r > k$. Тогда перевод разряда $|r|$ в нормализованный вид происходит по следующему правилу (здесь $[]$, $\{ \}$ — целая и дробная части числа):

- при $\{r/k\} \neq 0 : \ll \dots |x|r|y| \dots \gg \rightarrow \ll \dots |x + [r/k] | \{r/k\} | y| \dots \gg$;
- при $\{r/k\} = 0 : \ll \dots |x|r|y| \dots \gg \rightarrow \ll \dots |x + [r/k] - 1 | k | y| \dots \gg$.

Затем таким же образом преобразуется следующий слева ненормализованный разряд слова, и так до самого левого разряда. Так, например, в *mps5*: $11^5 = \ll 2, 1, 1, 1, 5, 1 \gg_5$.

Следовательно, число $11^5 \in T(5, 6)$ и биективно 7×11 TSMD-матрице, приводимой ниже (символы “0” опущены). Разряды числа 11^5 расположены вертикально на одном уровне со строками матрицы, где появляется “1” на позиции, номер которой равен содержимому этого разряда, считая порядок только символов “2” предыдущей строки матрицы.

2	(2 2 2 2 2)	2-я позиция “2” относительно 1-й строки
1	(2 1 2 2 2 2)	1-я позиция “2” относительно 2-й строки
1	(1 1 2 2 2 2 2)	1-я позиция “2” относительно 3-й строки
1	(1 1 1 2 2 2 2 2)	1-я позиция “2” относительно 4-й строки
5	(1 1 1 1 2 2 2 2 1 2)	5-я позиция “2” относительно 5-й строки
1	(1 1 1 1 1 2 2 2 1 2 2)	1-я позиция “2” относительно 6-й строки

Матрица соответствует одному из 5-мерных *skap*-путей в 11-кубе между вершинами $(00\dots 0)$ и $(11\dots 1)$ со всеми вытекающими численными данными по топологической структуре этого пути (кстати, и как 4-мерного многообразия) в соответствии с результатами из [8]. Легко видеть, что вид в *mpsk* последовательных чисел, которые присвоены вершинам *GTk*-дерева и образуют множество натуральных в поколении g -го ранга, есть g -разрядные слова:

$$\ll 1, 1, \dots, 1 \gg_k, \ll 1, 1, \dots, 1, 2 \gg_k, \dots, \ll k, k, \dots, k, (k - 1) \gg_k, \ll k, k, \dots, k \gg_k.$$

4. Генетические структуры и примеры их использования. Возможности биекции “натуральные \leftrightarrow троичные символьные матрицы” как инструмента *арифметической геометрии* можно наглядно представить на рис. 2 для $k = 3$, т.е. генетического пространства $T(3)$ и кратчайших 3-путей в 7-кубе.

Ниже, в таблице, приведены мощности подпространств $T(k, g)$ для $k = 1 \div 10$, $g = 1 \div 10$.

В качестве примера использования конструкции генетического пространства рассмотрим вопрос размещения в $T(3)$ пар простых чисел-близнецов (p_i, p_{i+1}) и докажем следующее

Утверждение. В $T(3)$ генетическое расстояние между простыми-близнецами (p_i, p_{i+1}) больше двух: $\rho_{\text{gen}}(p_i, p_{i+1}) > 2$.

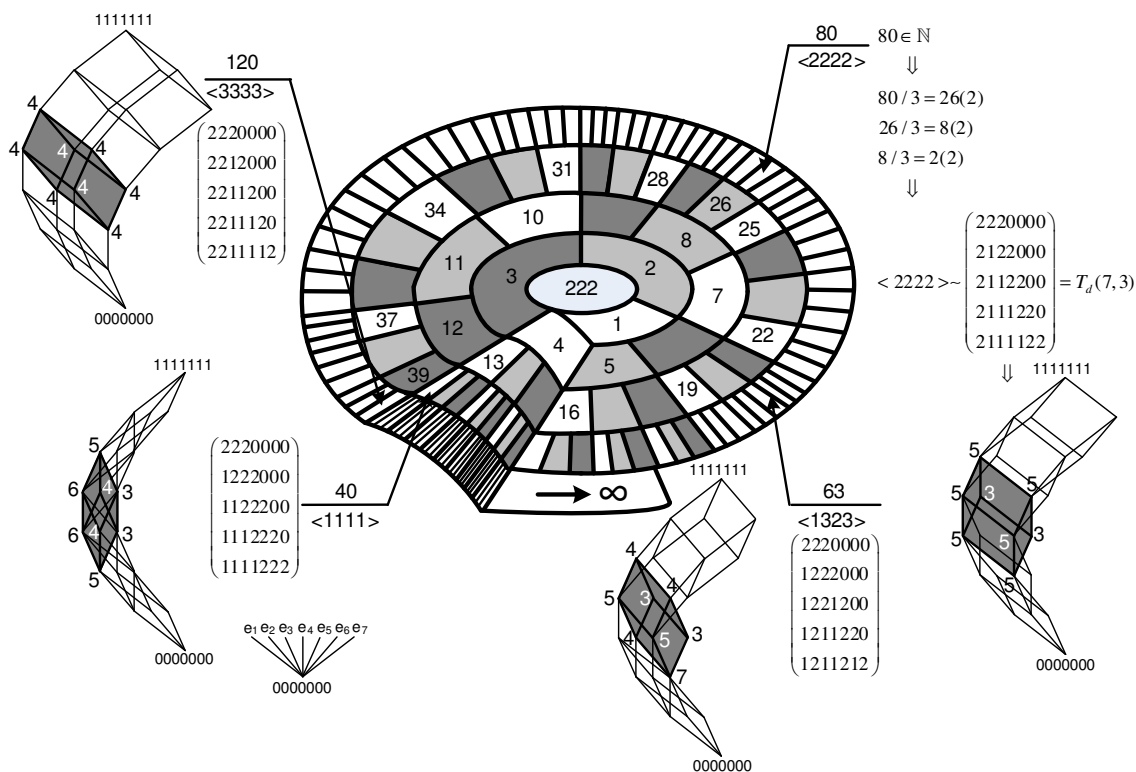


Рис. 2. Натуральные в генетическом пространстве $T(3)$ и пример последовательности биекций “натуральное \rightarrow запись в $mps3 \rightarrow$ троичная матрица диагонального вида \rightarrow геометрия кратчайших 3-путей в 7-кубе” (для натуральных 40, 63, 80, 120). Рядом с вершинами 3-путей указаны их степени

Число натуральных в генетических подпространствах $T(k, g)$, k — размерность базы рекурсии, g — ранг (число поколений). Число в () равно числу повторений предыдущей цифры (символа).
 В крайнем правом столбце приведена цикличность последней цифры в $|T(k, g)|$ как инварианта генетического пространства $T(k)$

$k \backslash g$	1	2	3	4	5	6	7	8	9	10	$(1,2,3, \dots, 9,0) \dots$
1											
2		6	14	30	62	126	254	510	1022	2046	$(2,6,4,0) \dots$
3		12	39	120	363	1092	3279	9840	29523	88572	$(3,2,9,0) \dots$
4		20	84	340	1364	5460	21844	87380	349524	1398100	$(4,0) \dots$
5		30	155	780	3905	19530	97655	488280	2441405	12207030	$(5,0) \dots$
6		42	258	1554	9330	55986	335922	2015538	12093234	72559410	$(6,2,8,4,0) \dots$
7		56	399	2800	19607	137256	960799	6725600	47079207	329554456	$(7,6,9,0) \dots$
8		72	584	4680	37448	299592	2396744	19173960	153391688	1227133512	$(8,2,4,0) \dots$
9		90	819	7380	66429	597870	5380839	48427560	435848049	3922632450	$(9,0) \dots$
10		110	1110	1(4)0	1(5)0	1(6)0	1(7)0	1(8)0	1(9)0	1(10)0	$(0) \dots$

Мы будем доказывать это утверждение в более наглядной форме, для чего введем понятие исходящей из вершины $v(n)$ k -арного дерева (с ассоциированным для этой вершины натуральным n) тройки вершин, принадлежащей следующему поколению (рангу) $T(3)$: $M_3(n) \subset T(3, s)$, $v(n) \in T(3, s - 1)$.

Три последовательных натуральных $M_3(n) = \{a, b, c\}$ всегда содержат только одно число, делящееся на 3. $M_3(n)$ -тройка может быть только двух видов: “четное-нечетное-четное” или “нечетное-четное-нечетное”. В первом случае такая тройка не может содержать двух простых, так как нечетное в ней

только одно. Поэтому под вопросом остается только тройка вида “нечетное-четное-нечетное”. Допустим, что два нечетных в этой тройке образуют пару простых. Тогда 3 есть делитель только четного и, согласно определению *mpsk* с основанием $k = 3$, запись этого четного в *mpsk* должна заканчиваться на символ 3. А это означает, что это число последнее в этой тройке, что противоречит нашему допущению, и максимально близкое натуральное простое может находиться лишь в другой тройке, т.е. на генетическом расстоянии (минимальном пути по ветвям *GTk*) строго больше двух. Таким образом, ни одна исходящая тройка в генетическом пространстве $T(3)$ не содержит пары простых-близнецов. Для трех поколений пространства $T(3)$ ситуацию с простыми-близнецами (3, 5), (5, 7), (11, 13), (17, 19), (29, 31) можно видеть на рис. 1.

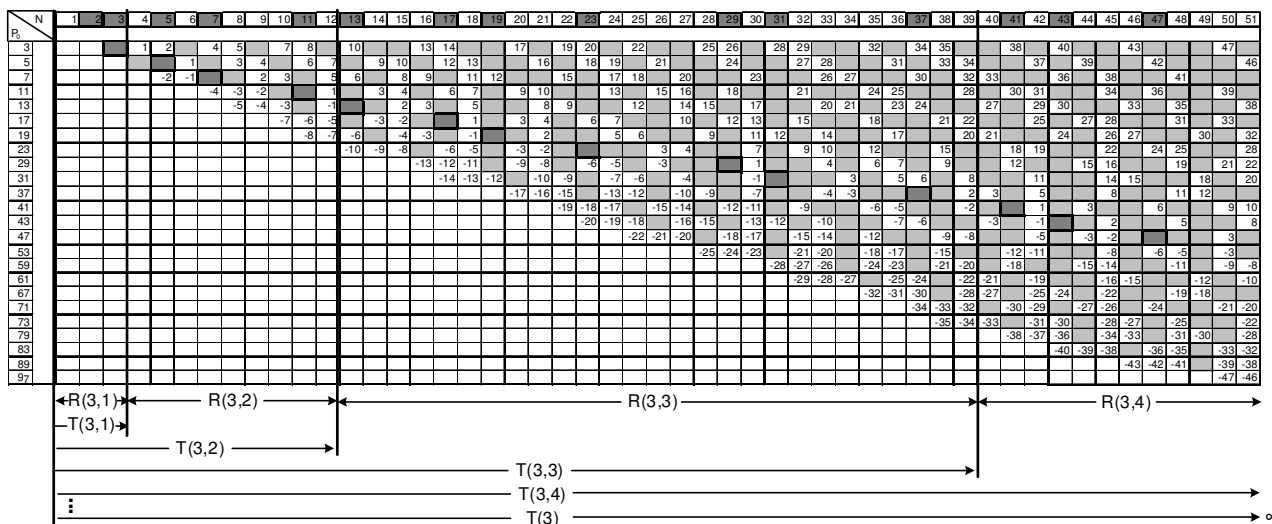


Рис. 3. Фрагмент разностного таблоида DT

5. Разностный таблоид и симметричность простых в структуре натуральных. Область определения разностного таблоида DT — двумерное множество клеток с координатами (n_s, p_i) , где $n_s \in \mathbb{N}$ и $p_i \in P_0$ — множество нечетных простых $\{3, 5, 7, \dots, p_i\}$. В каждую клетку (n_s, p_i) таблоида, для координат которых выполнено $|n_s - p_i| \leq n_s - 3$, вписано целое число со знаком, равное $d(n_s, p_i) = (n_s - p_i) \in \mathbb{Z}$. Начальный фрагмент такого таблоида показан на рис. 3. Другими словами, DT — это развертка генетической структуры инфинитарного трио (пути в n -кубе, k -арные деревья, множество натуральных \mathbb{N}) вдоль множества нечетных простых с приписыванием каждой клетке (n_s, p_i) веса $(n_s - p_i) \in \mathbb{Z}$. Таким образом, клетки каждого n_s -го столбца таблоида DT содержат значения расстояния (со знаком) от натурального n_s до простых: со знаком “+” для $n_s > p_i$ и со знаком “-” для $n_s \leq p_i$ и $|n_s - p_i| \leq (n_s - 3)$. Простые, для которых $d(n_s, p_i) > 0$, будем называть простыми “слева” от n_s , а при $d(n_s, p_i) < 0$ — “правыми” от n_s .

Пара клеток n_s -го столбца, для которых $|d(n_s, p_i)| = |d(n_s, p_j)|$, соответствует эквидистантным (симметричным) простым p_i и p_j относительно натурального n_s . Отсюда общее число таких пар в столбце n_s можно рассматривать как показатель симметричности простых относительно натурального n_s , а множество соответствующих $|d(n_s, p_i)|$ — как спектр p -симметричности для n_s : $Spec_p(n_s)$. В этой конструкции на равных правах в ряду натуральных выступают и сами простые.

Так, например, для $n_s = 23$: $Spec_p(23) = \{6, 18, 20\}$, что соответствует эквидистантным парам простых (17, 29), (5, 41), (3, 43).

Прямой путь вычисления всех значений в клетках DT для достаточно больших значений натуральных и простых и применение методов анализа к этим данным как реализации некоторого случайного процесса (или процессов) мы оставим за рамками этой статьи. Подойдем к процессу формирования DT как к вполне детерминированному, привлекая прежде всего генетические конструкции на основе рекурсии троичных символьных матриц, которая привела к объединению структур n -куба, k -арных глобальных деревьев и последовательности натуральных \mathbb{N} [8].

Итак, в этой части статьи:

- P_0 — нечетные простые $\{3, 5, 7, 11, \dots\}$ с нумерацией в P_0 : 1,2,3,4,...;
- *GTk* — k -арное глобальное дерево с единственным корнем (степень вершины-корня k) и числом вершин в каждом ранге k^g , где ранг $g \in 0, 1, \dots, \mathbb{N}$ — множество вершин с равной длиной (g) пути

по ребрам дерева до корня (ранг корня 0);

- \mathbb{N}/GTk -последовательность натуральных как нумерация вершин дерева GTk однозначно представлена цепью k -кортежей последовательных натуральных; начальный k -кортеж в цепи $\langle 1, 2, 3, \dots, k \rangle$, за ним следуют $\langle k + 1, k + 2, \dots, 2k \rangle$, $\langle 2k + 1, 2k + 2, \dots, 3k \rangle, \dots$;
- $\langle n_1, n_2, \dots, n_k \rangle$ — k -й кортеж: $n_s = n_1 + (s - 1)$; n_k делится на k ;
- $h_k^*(n_s)$ — номер числа n_s в k -кортеже;
- $//p_i, n_s, p_j//$ — эквидистантная тройка: “простое слева” с номером i из P_0 , натуральное n с номером s из \mathbb{N} , “простое справа” с номером j из P_0 , для которой $(n_s - p_i) = |n_s - p_j|$;
- $h_p^*(p_i) = i$ — номер простого в последовательности P_0 ;
- $Spec_p(n_s) = \{d_{s,i_1}, d_{s,i_2}, \dots, d_{s,i_m}\}$ — спектр симметричных простых для n_s .

Ключевой момент рассмотрения — *однозначный ответ на вопрос: при заданных номере i (в P_0) “левого простого” и номере s в k -кортеже натурального n_s являются ли эти числа совместимыми, чтобы образовать эквидистантную пару с клеткой (еще не заполненной), в которой должна быть записана разность между n_s и “правым простым” (p_j) или кандидат на эквидистантный “правый простой” не может быть простым числом — эквидистантное место уже “занято” составным числом?*

Пример. Пусть значения $k = 3, n_s = 26, p_i$ (“левое простое”) = 19. Тогда $h_k^*(n_s) = h_3^*(26) = 2^*$, $h_k^*(p_i) = h_3^*(19) = 1^*$ и для выполнения эквидистантности тройка номеров в 3-кортежах (при первых двух 1^* и 2^*) должна иметь вид $(1^*, 2^*, 3^*)$. Это означает, что “правое число” делится на 3 (как все третьи числа в 3-кортежах) и не может быть простым. Следовательно, $p_i = 19$ и $n_s = 26$ — несовместимы и эта клетка таблоида не будет иметь парной эквидистантной в столбце s . Действительно, эквидистантное место занято составным 33. В то же время, для левого простого $p_i = 11$: $h_3^*(11) = 2^*$ и тройка номеров в 3-кортежах имеет допустимый вид $(2^*, 2^*, 2^*)$, и правое эквидистантное простое $26 + 11 = 37$.

Установление факта несовместимости клетки (n_s, p_i) быть эквидистантной (т.е. имеющей парную в столбце n_s) только по номеру i “левого простого” и номеру натурального $h_k^*(n_s)$ является основой раскраски таблоида ДТ в два цвета, т.е. клеток как несовместимых и совместимых (еще не обязательно парных клеток!). Сам процесс раскраски “по номерам”, или, точнее, определение алгоритма раскраски для простых с последовательными номерами простых $i = 1, 2, 3, 4, \dots$ ($P_0 = \{3, 5, 7, 11, \dots\}$), можно рассматривать как *предварительное решето* для оценки свойств эквидистантности простых.

Примем следующее обозначение для 3-кортежа и позиции натурального в нем: $\| |x| \|$ — в данном случае номер позиции числа x равен 2, т.е. $h_3^*(x) = 2$.

Анализируя 3-кортежи на предмет совместимости в них номеров позиций, приходим к следующему выводу. Несовместимые позиции соответствуют значениям (A1) при кандидатах на симметрию $x_1 = p_i, x_3 = p_j$ для натурального $x_2 = n_s$:

$$\begin{aligned}
 & \dots \|x_1| \quad | \quad \| \dots \| |x_2| \quad \| \dots \| |x_3| \quad | \quad \| \dots \rightarrow (1^*, 2^*, 1^*) \\
 & \dots \|x_1| \quad | \quad \| \dots \| |x_2| \quad | \quad \| \dots \| |x_3| \quad \| \dots \rightarrow (1^*, 1^*, 2^*) \\
 & \dots \|x_1| \quad | \quad \| \dots \| |x_2| \quad \| \dots \| |x_3| \quad \| \dots \rightarrow (1^*, 2^*, 2^*) \\
 & \dots \| |x_1| \quad \| \dots \| |x_2| \quad | \quad \| \dots \| |x_3| \quad | \quad \| \dots \rightarrow (2^*, 1^*, 1^*)
 \end{aligned} \tag{A1}$$

Совместимые позиции соответствуют значениям (A2):

$$\begin{aligned}
 & \dots \|x_1| \quad | \quad \| \dots \| |x_2| \quad | \quad \| \dots \| |x_3| \quad | \quad \| \dots \rightarrow (1^*, 1^*, 1^*) \\
 & \dots \|x_1| \quad | \quad \| \dots \| \quad | \quad |x_2| \dots \| \quad |x_3| \quad \| \dots \rightarrow (1^*, 3^*, 2^*) \\
 & \dots \| |x_1| \quad \| \dots \| \quad |x_2| \quad \| \dots \| \quad |x_3| \quad \| \dots \rightarrow (2^*, 2^*, 2^*) \\
 & \dots \| |x_1| \quad \| \dots \| \quad | \quad |x_2| \dots \| |x_3| \quad | \quad \| \dots \rightarrow (2^*, 3^*, 1^*)
 \end{aligned} \tag{A2}$$

Анализируя аналогичные (A1), (A2) ситуации для 5-, 7-, 11-, ...-кортежей, приходим к следующему выводу. Условия несовместимости чисел p_i и n_s по их номерам в k -кортежах устанавливаются следующим образом. Пусть $h_k^*(p_i) = x_1, h_k^*(n_s) = x_2$. Тогда решение следующего линейного сравнения с двумя неизвестными будет давать *множество пар несовместимых номеров* (третье число x_3 к таким парам не может быть одновременно и эквидистантным с первым, и простым):

$$2x_2 - x_1 \equiv 0 \pmod{k}, \quad 1 \leq x_1 < k, \quad 1 \leq x_2 \leq k. \tag{1}$$

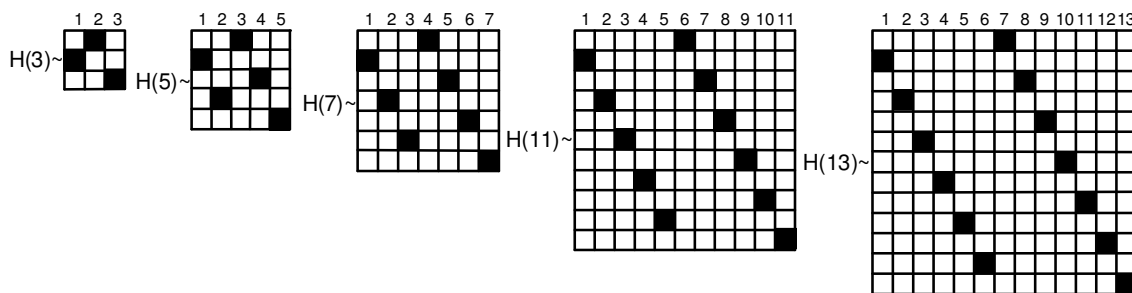


Рис. 4. Расположение несовместных номеров для симметричных простых на “шахматных” $p_i \times p_i$ досках

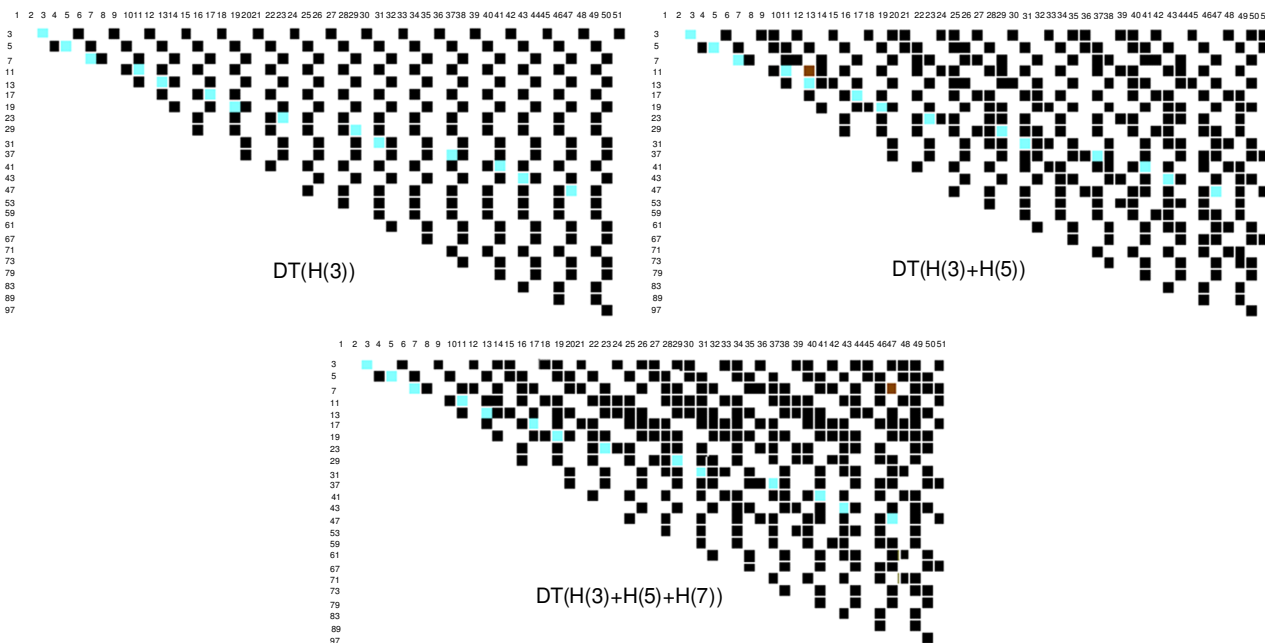


Рис. 5. Несовместные (темный цвет) клетки DT после отображений решений сравнения (1): $H(3); H(3) + H(5); H(3) + H(5) + H(7)$

Замечание. Здесь x_1 не может быть равно k (кроме 1-го кортежа) как последнее число в k -кортеже, кратное k , и поэтому не простое, но x_2 может быть равно k , так как для него нет ограничения быть простым.

Выражение (1) можно назвать *отношением симметрической несовместности* простых x_1 и x_3 относительно натурального x_2 в генетической структуре с базой $k: \mathbb{N}/T(k)$. Если положить $(2p_i + 1)/2 = m_1$ и $p_i - 1 = m_2$, то множество решений сравнения (1) принимает вид

$$H(p_i) = \{(1^*, m_1^*), (2^*, 1^*), (3^*, m_1 + 1^*), (4^*, 2^*), (5^*, m_1 + 2^*), (6^*, 3^*), \dots, \dots (m_2 - 1^*, m_2^*), (m_2^*, m_2/2^*), (p_i^*, p_i^*)\}, \quad |H(p_i)| = p_i. \tag{2}$$

При отслеживании начальных шагов действия решета (для $k = 3, 5, 7, \dots$) для пометки несовместных клеток DT удобно иметь перед глазами множества несовместных номеров в k -кортежах, для чего мы их ниже приводим:

$$\begin{aligned} H(3) &= \{(1^*, 2^*), (2^*, 1^*), (3^*, 3^*)\}; \\ H(5) &= \{(1^*, 3^*), (2^*, 1^*), (3^*, 4^*), (4^*, 2^*), (5^*, 5^*)\}; \\ H(7) &= \{(1^*, 4^*), (2^*, 1^*), (3^*, 5^*), (4^*, 2^*), (5^*, 6^*), (6^*, 3^*), (7^*, 7^*)\}; \\ H(11) &= \{(1^*, 6^*), (2^*, 1^*), (3^*, 7^*), (4^*, 2^*), (5^*, 8^*), (6^*, 3^*), (7^*, 9^*), (8^*, 4^*), \\ &\quad (9^*, 10^*), (10^*, 5^*), (11^*, 11^*)\}; \\ H(13) &= \{(1^*, 7^*), (2^*, 1^*), (3^*, 8^*), (4^*, 2^*), (5^*, 9^*), (6^*, 3^*), (7^*, 10^*), (8^*, 4^*), (9^*, 11^*), \\ &\quad (10^*, 5^*), (11^*, 12^*), (12^*, 6^*), (13^*, 13^*)\}. \end{aligned}$$

Естественно рассмотреть отображение $H(p_i)$ в $(p_i \times p_i)$ -матрицу $M^*(p_i)$, в которой парам несовместных номеров (x^*, y^*) соответствуют элементы $m_{x^*, y^*} = 1$, остальные элементы равны 0. Представляя матрицу $M^*(p_i)$ как аналог шахматной доски (рис. 4), легко видеть, что ненулевые элементы матрицы располагаются на ней ходом коня.

Таким изящным видом прогноза симметричности простых в структуре натуральных хочется дать следующий ответ на вопрос Кевина Форда “Простые числа играют в кости?”, который был задан на семинаре “Глобус” в Москве в июне 2015 г.: “Да играют, но не в кости, а скорее в шахматы на досках $p_i \times p_i$ ”. Это представление порождает возможности анализа новых свойств взаимосвязи простых и натуральных, однако обсуждение этих возможностей находится вне рамок данной статьи. Приведем иллюстрацию динамики раскраски ДТ при последовательном выделении несовместных клеток для $p_1 = 3; p_2 = 5; p_3 = 7; \dots$ и индуцирующих общую интерференционную картину симметричности простых среди натуральных (рис. 5).

6. Заключение. Композиции инфинитарных или близких к ним структур (наподобие эскизно рассмотренной выше) вероятно будут играть в будущем все более важную роль в решении биологических, экономических и социальных проблем. Прежде всего, в изучении вопросов эргодического поведения одной структуры внутри другой, вплоть до минимальных представлений на уровне диаграмм и таблиц Юнга. Поэтому вопрос, как ответит на это архитектура будущих компьютеров, призванных с помощью сопроцессоров эффективно работать с *полиморфными биекциями* объектов, где важна роль точной арифметики больших целых чисел в различных системах счисления, во многом может оказаться определяющим.

Авторы выражают благодарность РФФИ за поддержку работ в рамках гранта 09–07–12135–офи_м, которые послужили трамплином к работам 2014–2015 гг.

СПИСОК ЛИТЕРАТУРЫ

1. *Pintz J.* Patterns of primes in arithmetic progressions. 2015 (<http://arxiv.org/abs/1509.01564>).
2. *Ford K., Green B., Konyagin S., Maynard J., Tao T.* Long gaps between primes. 2015 (<http://arxiv.org/abs/1412.5029>).
3. *Polymath D.H.J.* Variants of the Selberg sieve, and bounded intervals containing many primes. 2014 (<http://arxiv.org/abs/1407.4897>).
4. *Рябов Г.Г.* О четверичном кодировании кубических структур // Вычислительные методы и программирование. 2009. **10**. 340–347.
5. *Рябов Г.Г.* Хаусдорфова метрика на гранях n -мерного куба // Фундаментальная и прикладная математика. 2010. **16**, № 1. 151–155.
6. *Ryabov G.G., Serov V.A.* “Multidimensional metro” and symbol matrices // International Journal of Open Information Technologies. 2014. **2**, N 11. 10–18.
7. *Ryabov G.G., Serov V.A.* On classification of k -dimension paths in n -cube // Applied Mathematics. 2014. **5**, N 4. 723–727 (available at <http://dx.doi.org/10.4236/am.2014.54069>).
8. *Ryabov G.G., Serov V.A.* Polymorphism of symbolic ternary matrices and genetic space of the shortest k -paths in the n -cube // International Journal of Open Information Technologies. 2015. **3**, N 7. 1–11.

Поступила в редакцию
10.09.2015

Composition of Infinitary Structures

G. G. Ryabov¹ and V. A. Serov²

¹ *Research Computing Center, Lomonosov Moscow State University; Leninskie Gory, Moscow, 119992, Russia; Dr. Sci., Corresponding Member of Russian Academy of Sciences, Head of Laboratory, e-mail: gen-ryabov@yandex.ru*

² *Research Computing Center, Lomonosov Moscow State University; Leninskie Gory, Moscow, 119992, Russia; Scientist, e-mail: v_serov_@mail.ru*

Received September 10, 2015

Abstract: The infinitary structure of an n -cube, global k -ary trees, and natural numbers are considered as a single genetic structure. A number of geometric characteristics of the shortest paths in an n -cube are specified and the properties of prime number symmetry among the natural numbers are studied on the basis of this structure.

Keywords: n -cube, symbolic matrix, global k -ary tree, k -tuples of natural numbers, difference tabloid, symmetry of prime numbers, incompatibility relation.

References

1. J. Pintz, *Patterns of Primes in Arithmetic Progressions*, arXiv preprint: 1509.01564v2 [math.NT] (Cornell Univ. Library, Ithaca, 2015), available at <http://arxiv.org/abs/1509.01564>.
2. K. Ford, B. Green, S. Konyagin, et al., *Long Gaps between Primes*, arXiv preprint: 1412.5029v2 [math.NT] (Cornell Univ. Library, Ithaca, 2015), available at <http://arxiv.org/abs/1412.5029>.
3. D. H. J. Polymath, *Variants of the Selberg Sieve, and Bounded Intervals Containing Many Primes*, arXiv preprint: 1407.4897v4 [math.NT] (Cornell Univ. Library, Ithaca, 2014), available at <http://arxiv.org/abs/1407.4897>.
4. G. G. Ryabov, "On the Quaternary Coding of Cubic Structures," *Vychisl. Metody Programm.* **10**, 340–347 (2009).
5. G. G. Ryabov, "Hausdorff Metric on Faces of the n -Cube," *Fundam. Prikl. Mat.* **16** (1), 151–155 (2010) [*J. Math. Sci.* **177** (4), 619–622 (2011)].
6. G. G. Ryabov and V. A. Serov, "Multidimensional Metro and Symbol Matrices," *Int. J. Open Inform. Technol.* **2** (11), 10–18 (2014). <http://injoit.org/index.php/j1/article/view/157/116>. Cited November 6, 2015.
7. G. Ryabov and V. Serov, "On Classification of k -Dimension Paths in n -Cube," *App. Math.* **5** (4), 723–727 (2014). doi: 10.4236/am.2014.54069
8. G. G. Ryabov and V. A. Serov, "Polymorphism of Symbolic Ternary Matrices and Genetic Space of the Shortest k -Paths in the n -Cube," *Int. J. Open Inform. Technol.* **3** (7), 1–11 (2015). <http://injoit.org/index.php/j1/article/view/214/173>. Cited November 6, 2015.